# 关于轴心钢压杆腹板宽厚比规定的探讨

何运林

(西北农学院水利系)

# 摘 要

本文为编制交通部《船闸设计规范第四篇闸门及阀门》的需要,对我国现 行 规 范 (TJ,,-,,)所列轴心钢压杆腹板宽厚比公式的问题进行了剖析,分别按弹塑性阶 段 及 弹性阶段,导出了严密的新公式,并与世界各国规范所列轴心钢压杆腹板宽厚比规定进行了对比分析。

# 一、我国现行规范公式的来源

在轴心受压构件中,腹板的计算高度 h。与其厚度  $\delta$  之比,是根据等稳定 原 则,即腹板的局部屈曲时的临界应力  $\sigma_{Li}$  等于或高于构件正体失稳时的临界 应 力  $\sigma_{L}$  而 导 出的。为了便于探讨存在的问题,现推导如下:

$$\sigma_{Li} \geqslant \varphi \sigma_s$$

式中

 $\varphi = \frac{\sigma_L}{k_2 \sigma_s}$  轴心受压构件的纵向弯曲系数。将 $\varphi$ 代入上式得。

$$\sigma_{L_{j}} \geqslant \frac{\sigma_{L}}{k_{a}} \tag{1}$$

式中

σι;——轴心受压构件腹板局部屈曲时的临界应力,在弹塑性阶段导得:

$$\sigma_{L_i} = \frac{\pi^2 E \sqrt{\tau}}{12(1-\mu^2)} \left(\frac{\delta}{h_o}\right)^2 K \qquad (\lambda \leq \lambda_P)$$

K——无量钢系数,与不受载边的支承情况、板的外形比值等有关,对焊接组合工字形截面的轴心受压柱,不受载边(与两个翼缘连接的焊缝边)的支承假定为简支,则K=4;

 $\mu == 0.3$ , 材料的泊桑化;

 $E = 2.1 \times 10^6 \text{ kg/cm}^2$  钢材的弹性模量。

将诸值代入上式则得:

$$\sigma_{L_1} = 760 \left( \frac{100 \delta}{h_2} \right)^2 \sqrt{\tau} \tag{2}$$

σ<sub>L</sub>—轴心受压构件正体失稳的临界应力,在弹塑性阶段,世界各国所采用的曲线极不一致,美国用C、R、C抛物线,日本用约翰逊抛物线、英国、瑞士、意大利、比利时和加拿大用泰特马耶直线,法国用柏利公式,德国用耶硕克公式,奥地利及印度用正割公式,苏联所用曲线概念不清楚接近正割公式。本文系用我国研究出来的抛物线公式,略低于日本,略高于美国,公式为:

$$\sigma_{L} = \sigma_{S} - 0.43 \left( \frac{\lambda}{\lambda_{P}} \right)^{2} \sigma_{S}, \quad (\lambda \leq \lambda_{P})$$
 (3)

k<sub>2</sub>——特殊安全系数,采用我国公式;当 λ ≤ λ<sub>0</sub>时、

$$k_1 = 1 + 0.28 \left( \frac{\lambda}{\lambda_B} \right)^2$$
 取平均值1.15;

1, ——比例极限时的长细化

$$\lambda_{P} = \sqrt{\frac{\pi^{2} E}{0.57 \sigma_{S}}} = 123$$
 (A.);

 $\sigma_s = 2400 \text{ kg/cm}^2$  钢材的屈伏点(A<sub>s</sub>)。

将(2)、(3)两式代入(1)式得:

$$760\left(\frac{100 \delta}{h_{o}}\right)^{2}\sqrt{\tau} \geqslant \left[1 - 0.43\left(\frac{\lambda}{\lambda_{P}}\right)^{3}\right] \sigma_{o} \frac{1}{k_{P}}$$

再将τ、λ,、σ<sub>s</sub>、k<sub>2</sub>等值代入并简化得.

$$\frac{h_{\bullet}}{\delta} \leqslant \frac{50.5}{\sqrt{1 - 0.285 \left(\frac{\lambda}{100}\right)^2}} \tag{4}$$

f (x) = 
$$\frac{1}{\sqrt{1-0.285(\frac{\lambda}{100})^2}}$$

$$x = -0.285 \left(\frac{\lambda}{100}\right)^2$$

故

$$f(x) = \frac{1}{\sqrt{1+x}}$$

采用微分近似计算:

$$f(x) \approx f(0) + f'(0)x$$

因 
$$f'(x) = -\frac{1}{2}(1+x)^{-\frac{3}{2}}$$

$$f'(0) = -\frac{1}{2}$$

故

f (x) 
$$\approx 1 + \frac{1}{2} \times 0.285 \left(\frac{\lambda}{100}\right)^2$$

即

$$\frac{1}{\sqrt{1-0.285\left(\frac{\lambda}{100}\right)^2}} \approx 1 + \frac{1}{2} \times 0.285\left(\frac{\lambda}{100}\right)^2$$
 (5)

将(5)式代入(4)式得:

$$\frac{h_{\bullet}}{\delta} \leq 50.5 \left[ 1 + \frac{1}{2} \times 0.285 \left( \frac{\lambda}{100} \right)^2 \right]$$

简化得:

$$\frac{h_{\bullet}}{\delta} \leq 50.5 + 7.2 \left(\frac{\lambda}{100}\right)^2 \tag{6}$$

将曲线近似取成直线并考虑σ<sub>s</sub>≠2400 kg/cm²的情况,最后得到。

$$\frac{h_{\bullet}}{\delta} \leqslant 50 \sqrt{\frac{2400}{\sigma_{s}}} + 0.1 \lambda \tag{7}$$

(7)式即为现行《钢结构设计规范》(TJ,,-,,)第61条所列公式。

### 二、我国规行规范公式存在的问题

#### (1) 数学推导中的问题

规范所列公式系由(4)式按微分近似计算得(6)式,再将(6)式近似简化而来。我们按公式(4)、(6)、(7)三式,假定不同的  $\lambda$  值,分别求得相应的  $\frac{h_{\bullet}}{\delta}$  的极限值列入表 1,再根据表 1 数值绘成图 1。从表 1 及图 1 明显看出。(6)、(7)两式的计算结果比较接近,而与(4)式相差较大,特别是当  $\lambda$  > 100 以后,差值越来越悬殊,最大差值达到60%以上。

分析其原因,主要是由公式(4)变换到公式(6)的数学推导过程中,采用了级数运算的前两项。台劳级数为:

$$f(x) = f(x_{\circ}) + \frac{f'(x_{\circ})}{1!} (x-x_{\circ}) + \frac{f''(x_{\circ})}{2!} (x-x_{\circ})^{2} + \cdots + \frac{f^{(a)}(x_{\circ})}{n!} (x-x_{\circ})^{a} + \cdots$$

当上式中的 x.=0,则得到马克劳林级数,即

$$f(x) = f(o) + \frac{f'(o)}{1!}x + \frac{f''(o)}{2!}x^{1} + \cdots + \frac{f^{(n)}(o)}{n!}x^{n} + \cdots$$

取前两项就得到下式:

$$f(x) \approx f(n) + \frac{f'(n)}{1!}x$$

该式相当于下列微分近似计算的应用:

当 | Δ x | 很小时,

 $f(x_{\bullet} + \Delta x) \approx f(x_{\bullet}) + f'(x_{\bullet}) \Delta x$ 

若令  $x \cdot = 0$  , 并将  $\Delta x$  换写成 x , 即得

 $f(x) \approx f(0) + f'(0)x$ 

很显然,上式的适用条件为|x|很小时。而在由(4)式推导到(5)式中,相应于(4)式的x为x=-0.285 $\left(\frac{\lambda}{100}\right)^2$ ,当 $\lambda \le 100$ 时, $|x| \le 0.285$ ; 当 $\lambda > 100$ 时,

**则**  $| \mathbf{x} | > 0.285$ ,且随  $\frac{\lambda}{100}$  的平方增大而增大,显然不满足  $| \mathbf{x} |$  很小的条件。因而在  $\lambda > 100$ 以后,(4)式与(7)式的差值就越来越大(图1)。

<u> </u>	表 1 公式(4)、(6)、(7)计算表											
	30	40	60	80	100	120	130	140	150	160	170	180
(4)	51.2	51.7	53.3	55.9	59.7	65.8	70.1	76.1	84.3	97.1	120.2	182.3
(6)	51.1	51.7	53.1	55.1	57.9	60.9	62.7	64.6	66.7	68.9	71.3	73.8
(7)	53	54	56	58	60	62	63	64	65	66	67	68
(4) × 100%	4 %	4 %	5 %	4 %	0.5%	-6%	-10%	-16%	-23%	-32%	-44%	-63%

#### (2) 弹性模量修正系数τ的取值问题

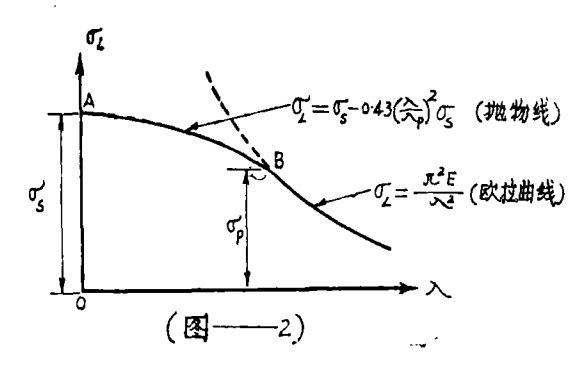
现行规范所列公式在理论推导过程中,取弹性模量修正系数  $\tau$  为一常数,是不合理的。根据理论分析,  $\tau$  值是随构件临界应力的减小而逐渐增大,也就是随构件长细比的增大而增大,这个关系从  $\sigma$   $\sim$   $\lambda$  关系曲线上亦可看得出来。现将  $\tau$  与  $\sigma$   $_{L}$  的关系分析 如  $\tau$  .

轴心受压钩件在弹塑性阶段的屈曲临界应力,可采用我国研究的抛物线公式表示。

$$\sigma_{L} = \sigma_{S} - 0.43 \left(\frac{\lambda}{\lambda_{P}}\right)^{2} \sigma_{S}$$

上述方程式代表图——2中的AB曲线。式中 $\lambda$ ,为 $\sigma_L = \sigma$ ,时的长细比,即  $\lambda$ ,  $\sigma_L = \frac{\pi^2 E}{0.57 \sigma_e}$ ,将此式代入上式得:

$$\sigma_{L} = \sigma_{S} - \frac{0.245 \sigma_{S}^{2}}{\pi^{2} E} \lambda^{2}$$
 (8)



在弹塑性阶段, σ ι 可用下式表示:

$$\sigma_L = \frac{\pi^2 E \tau}{\lambda^2}$$

由此得:

$$\lambda^2 = \frac{\pi^2 E \tau}{\sigma_{i}}$$

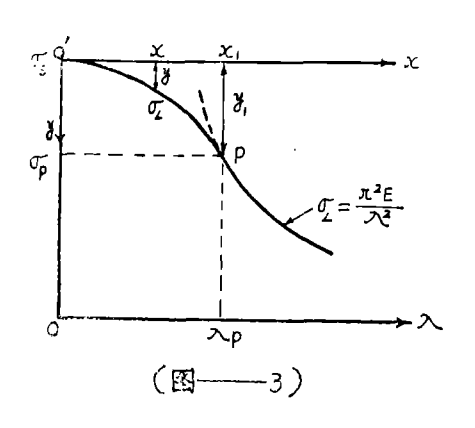
将上式代入(8)式消去 λ 后,可得 τ 的表达式为:

$$\tau = \frac{(\sigma_s - \sigma_L)\sigma_L}{0.245\sigma_s^2} \qquad (9)$$

采用F. Bleich 用来代替切线模量概念的抛物线方程,如图 3 所示,抛物线O'P 线段表示弹塑性阶段的柱子曲线,其抛物线公式为:

$$\frac{y_1}{y} = \frac{x_1^2}{x^2}$$

将 σ 和 λ 代入上式得:



$$\frac{\sigma_{s} - \sigma_{p}}{\sigma_{s} - \sigma_{L}} = \frac{\lambda_{p}^{2}}{\lambda^{2}}$$

$$\sigma_L = \sigma_S - (\sigma_S - \sigma_P) \frac{\lambda^2}{\lambda_P^2}$$

上式称为F。Bleich 公式,美国长柱研究委员会(C。R。C)就是利用上式取  $\sigma_P = 0.5 \sigma_S$ 导得了约翰逊公式。美国AISC规范就是以此式为根 据。由 F。Bleich 公式同理导得 $\tau$ 的表达式为:

$$\tau = \frac{(\sigma_s - \sigma_L) \sigma_L}{(\sigma_s - \sigma_P) \sigma_P}$$
 (10)

按(9)式求得 $\sigma_{L}$ ~ $\tau$ 的关系列入表2。

			表	2 τ		值	•			
λ	30	40	50	60	70	80	90	100	110	123
$\sigma_{\rm L}$	2057 (2075)	2044 (2065)	2027 (2057)	2005	1977	1938 (1989)	1892 (1954)	1832 (1907)	1752 (1844)	1609 (1693)
τ	0.500 (0.500)	0.516 (0.516)	0.536 (0.529)	0.561 (0.555)	0.593 (0.598)	0.634 (0.654)	0.681 (0.723)	0.737 (0.802)	0.804 (0.890)	0.902 (1.00)

(注)① 公式(9)中 $\sigma_s = 2400 \text{ kg/cm}^2$ 

② 园括号内的数值为按F• Bleich 所制的表求得,该表采用钢材  $\sigma_s = 2329 \text{ kg/cm}^2$ ,  $\sigma_P = 1765 \text{ kg/cm}^2$ 。

由表 2 明显看出, $\tau$ 不是常数而系变数,且对 $\sigma_{L}$ 的影响是不宜忽略的。而现 行 规范所列公式,在推导中取 $\tau=0.5$ 显然是不合理的。

#### (3) 公式的适用范围

关于现行规范所列公式的适用范围,在规范条文和规范说明中,均未交待。但从公式的推导来看,开始采用的是弹塑性阶段的临界应力 $\sigma_L$ 和 $\sigma_L$ i,那就是说,规范 所 列公式只适用于弹塑性阶段。可是规范说明中,在(6)、(7)两 式 的 比较计算表格内,却已从  $\lambda=30$ 计算到  $\lambda=150$ ,即这个公式已用于弹性阶段了。然而,弹性阶 段 的  $\tau=1$ ,而原式中取为0.5;另外,轴心压杆的正体失稳的临界应力,原式采 用 弹塑性阶段的抛物线公式,它与弹性阶段的欧拉公式也是不同的。因而,弹性阶段似应另推公式。

同时根据表 3 所列各国规范的压杆容许长细比  $\lambda$  的 规定 值 来看,14本规 范 均 为  $\lambda \ge 120$ ,即是说在实际工程中,轴心压杆的  $\lambda$  处于弹性 阶 段 (  $\lambda > \lambda$  。) 的情况 还 是存在的,因此,弹性阶段  $\frac{h_{\bullet}}{8}$  的规定,不应忽视。

			- 次	3	谷 -	<b>计</b>	£ 3	<b>田</b> [	נ א					
				水工钢纺	く 工钢结构									
杆	件	美	英	法	德国 日本	意大	比利	瑞	苏	中	西	苏	1/1	
		国	国	国	奥地利	利	利 时	士	联	国	德	联	国	
压	杆	200	180	300	250	150	175	200	120	150	150	120(主)	120(主) 150(次)	
(主要	构件)	200	180	300	250 150		173	200	120	130	130	150(次)   150(次   200(联)   <b>200</b> (联		

# 三、 本 文 公 式

本文按弹塑性阶段(采用我国柱子曲线和切线模量理论)及弹性阶段,根据轴心受压构件正体稳定与腹板局部稳定的等稳定原则, $\tau$ 取变量, $k_2$ 分三种情况考虑,从而分别导得 $\frac{h_{\bullet}}{8}$ 极限值的表达式。

( 1 ) 采用我国柱子曲线, k₂按三种情况进行推导:

在弹塑性阶段,柱子曲线采用公式(3),对 $\tau$ 的计算式,考虑前后一致性,现采用(9)式,并将(9)式代入(2)式得:

$$\sigma_{Lj} = 760 \left( \frac{100 \, \delta}{h_{\bullet}} \right)^2 \sqrt{\frac{(\sigma_s - \sigma_{Lj}) \, \sigma_{Lj}}{0.245 \sigma_s^2}}$$

節化得:

$$\sigma_{L1} = \frac{2400 \left[ 5776 \times 10^{8} \times \left( \frac{\delta}{h_{\bullet}} \right)^{4} \right]}{14.1 + \left[ 5776 \times 10^{5} \times \left( \frac{\delta}{h_{\bullet}} \right)^{4} \right]}$$
 (11)

将(11)式及(3)式代入(1)式得:

$$\frac{2400\left[5776\times10^{5}\times\left(\frac{\delta}{\text{h}_{\bullet}}\right)^{4}\right]}{1.41+\left[5776\times10^{5}\times\left(\frac{\delta}{\text{h}_{\bullet}}\right)^{4}\right]} \geqslant \left[1-0.43\left(\frac{\lambda}{\lambda_{P}}\right)^{2}\right]\sigma_{5}\frac{1}{k_{2}}$$

式中 
$$\lambda_p = 123$$
 (A<sub>3</sub>), 
$$\sigma_s = 2400 \text{ kg/cm}^2 \qquad (A_5)$$
$$k_2 = 1 + 0.28 \left(\frac{\lambda}{\lambda_p}\right)^2$$

将诸值代入上式

当k2=1.15(平均值)时:

$$\frac{h_{\bullet}}{\delta} \leq 80 \sqrt{\frac{\sqrt{0.15 + 0.285 \left(\frac{\lambda}{100}\right)^{2}}}{1 - 0.285 \left(\frac{\lambda}{100}\right)^{2}}}$$
 (12)

$$\alpha = \sqrt{\frac{\sqrt{0.15 + 0.285 \left(\frac{\lambda}{100}\right)^2}}{1 - 0.285 \left(\frac{\lambda}{100}\right)^2}}$$
 (13)

考虑到,当采用钢材的 $\sigma_s$ 不等于2400kg/cm²时,(12)式应乘以 $\sqrt{\frac{2400}{\sigma_s}}$ ,故(12)式变为:

$$\frac{h_{\bullet}}{\tau} \leqslant 80 \,\alpha \, \sqrt{\frac{2400}{\sigma_{\rm S}}} \tag{14}$$

当k2=1时:

$$\frac{h_{\bullet}}{\delta} \leqslant 80 \,\alpha \cdot \sqrt{\frac{2400}{\sigma_{s}}} \tag{15}$$

$$\alpha = \sqrt{\frac{0.285 \left(\frac{\lambda}{100}\right)^{2}}{1 - 0.285 \left(\frac{\lambda}{100}\right)^{2}}}$$
 (16)

当 k, = 1 + 0.28 
$$\left(\frac{\lambda}{\lambda_p}\right)^2$$
 时:

$$\frac{h_{\bullet}}{\delta} \leq 80 \alpha_{k_2} \sqrt{\frac{2400}{\sigma_{s}}} \tag{17}$$

$$\alpha_{k_{2}} = \sqrt{\frac{10.47(\frac{\lambda}{100})^{2}}{1 - 0.285(\frac{\lambda}{100})^{2}}} = 1.1332 \alpha.$$
 (18)

上述  $\alpha$  、  $\alpha$  . 及  $\sigma_{\mathbf{k}_2}$  值,根据  $\lambda$  按 (13),(16)及(18)计算列入表 4。同时,根据(14)、(15)、(17)三式(按  $\sigma_s$  = 2400 kg/cm²)将 相应  $\frac{\mathbf{h}_s}{\delta}$  的极限值亦算出列入表中,以便查用。

在弹性阶段,轴心受压构件腹板屈曲临界应力与构件正体失稳临界应力的等稳定条件为:

$$\sigma_{Li} \leqslant \frac{\sigma_2}{k_*} \tag{19}$$

			表	4	α,	α.,	$\alpha_{k_2}$ (	直			
λ	30	40	50	60	70	80	90	100	110	120	123
α	0.652	0.673	0.699	0.728	0.760	0,799	0.839	0.883	0.932	0.987	1.004
α ,	0.403	0.468	0.526	0.581	0.635	0.687	0.740	0,795	0.852	0.913	0.933
$\alpha_{k_2}$	0.457	0.530	0.596	0.658	0.719	0.778	0.838	0.901	0.965	1.034	1.057
(11)式 h。	52.2	53.8	55.9	58.2	61.0	63.9	67.1	70.6	74.6	78.96	80.3
$(15)_{\overline{z}} \frac{h_{\bullet}}{\delta}$	32.2	37.4	42.1	46.5	50.8	55.0	59.2	63.6	68.2	73.04	74.6
$(17)$ 武 $\frac{h_{\bullet}}{\delta}$	36.6	42.4	47.7	52.6	57.5	62.2	67.0	72.1	77.2	82.7	84.6

中定

σμ,——在弹性阶段四边简支板的局部屈曲临界应力,其表达式为:

$$\sigma_{Lj} = 760 \left( \frac{100 \delta}{h_a} \right)^2 \tag{20}$$

σ<sub>L</sub>——弹性阶段轴心受压构件正体丧失稳定的临界应力,根据12个国家的 资料,除法国、英国用柏利公式,印度用正割公式,苏联接近正割 公式外,其他八个国家都采用欧拉曲线,其方程为:

$$\sigma_{L} = \frac{\pi^{2} E}{\lambda^{2}} \qquad (\lambda > \lambda_{P}) \qquad (21)$$

将(20)、(21)两式代入(19)式得:

$$\frac{h_{\bullet}}{\delta} \leqslant \sqrt{\frac{760 \times 100^2 \times k_2}{\pi^2 E}} \lambda$$

式中

 $k_2$  — 特殊安全系数, 当  $\lambda_p$  <  $\lambda$  ≤ 200时,

$$k_2 = 1.44 - 0.16 \left( 1 + \frac{\lambda - \lambda_p}{200 - \lambda_p} \right) = 1.28 \sim 1.12$$

为使 $\frac{h_{\bullet}}{\delta}$ 的极限值与弹塑性阶段相衔接,对 $k_2$ 的取值同前:

当k2=1.15时:

$$\frac{h_{\bullet}}{\delta} \leq 0.65 \,\lambda \tag{22}$$

当 $k_2 = 1$ 时:

$$\frac{h_{\circ}}{8} \leq 0.61 \,\lambda \tag{23}$$

当
$$k_2 = 1.44 - 0.16$$
 (  $1 + \frac{\lambda - \lambda_p}{200 - \lambda_p}$  ) 时:

$$\frac{h_{\bullet}}{\delta} \leq 0.61 \, \lambda \, \sqrt{1.44 - 0.16 \, (1 + \frac{\lambda - \lambda_{P}}{200 - \lambda_{P}})}$$
 (24)

将(22)、(23)、(24)三式制成表 5,以便查用。

表 5

λ	123	130	140	150	160	170	180
(22) $\frac{h_{\bullet}}{\delta}$	80	84.5	91	97.5	104	110.5	117
(23)武 <u>市。</u>	75	79.3	85.4	91.5	97.6	103.7	109.8
(24)武 <u>h。</u>	84.9	89.2	95.3	101.2	107.1	112.8	118.3

(2) 采用切线模量理论、按F. Bleich 的系数进行推导。

如果弹塑性阶段轴心压杆正体失稳的临界应力,不采用我国的抛物线公式(公式(3)),而采用切线模量理论表达式,即

$$\sigma_{L} = \frac{\pi^{2} E \tau}{\lambda^{2}} \qquad (\lambda \leqslant \lambda_{P})$$

根据轴心受压构件正体稳定与腹板局部稳定的等稳定原则,可得下式:

$$\frac{\pi^2 E \sqrt{\tau}}{12(1-\mu^2)} \left(\frac{\delta}{h_e}\right)^2 K \geqslant \frac{\pi^2 E \tau}{\lambda^2} \cdot \frac{1}{k_2}$$

令 特殊安全系数 k2=1 将上式简化得

$$\frac{h_{\bullet}}{\delta} \leq \frac{0.303}{4\sqrt{\tau}} \sqrt{K} \lambda$$

$$\frac{h_{\bullet}}{\delta} \leq C\sqrt{K}$$
(25)

式中  $C = \frac{0.303}{4\sqrt{\pi}} \lambda$ 

故得

根据(9)、(10)两式知,对于某种钢材的 $\tau$ ,它与临界应力 $\sigma_L$ 有关,而 $\sigma_L$ 又是长细比  $\lambda$  的函数,故  $\tau$  为  $\lambda$  的函数(见表 2),从而得到  $C = f(\lambda)$ 。 F. Bleich 给出了 C的表达式为:

$$C = a \sqrt{\lambda} - b$$

对于  $\sigma_s = 2330 \text{ kg/cm}^2$ ,  $\sigma_P = 1760 \text{ kg/cm}^2$  的钢材,

对于腹板的不受载边为简支,K = 4,将K 值及(26)式代入(25)式,则得:

$$20 < \lambda < 108$$
 时,  $\frac{h_{\bullet}}{\delta} \le 6.74 \sqrt{\lambda} - 4.6$  (27)

$$\lambda > 108$$
 时,  $\frac{h_{\circ}}{\delta} \leq 0.61 \lambda$  (28)

将 (27)、(28) 两式的  $\frac{h_{\bullet}}{\delta}$   $\sim \lambda$  关系计算列入表 6 。

表	6
表	6

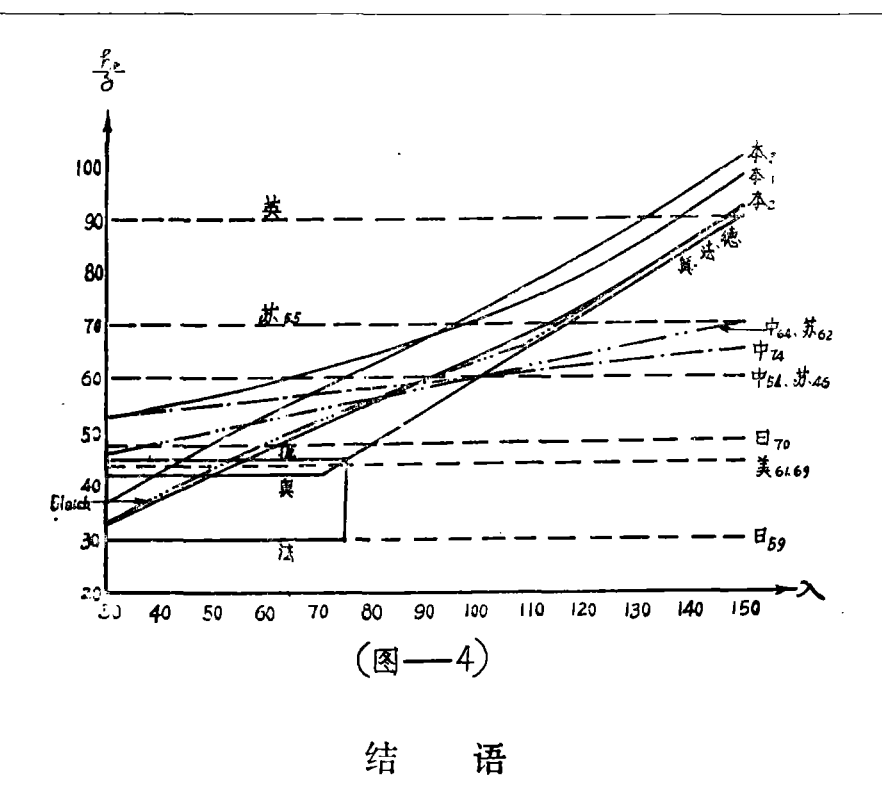
λ	30	40	50	60	70	80	90	100	108	120	130	140	150	160	170	180
$\frac{h}{\delta}$	32.2	38.0	43.1	47.6	51.8	55.7	59.3	62.8	65.4	73.2	79.3	85.4	91.5	97.6	103.7	109.8

### 四、世界主要国家规范公式的比较

现将本文公式及世界主要国家有关规范公式,均列入表7,同时按各国公式绘于图4中。

从表7及图4看出,世界主要国家对轴心钢压杆腹板宽厚比的规定,由于推导公式的原则和出发点不同,公式的表示形式也就各不相同,其数值相差亦很大。但总的看来可概括为下列几点:

- ① 英国规范规定得最宽,日本1959年规范规定的最严,其他各国的规定界**乎**二者之问。
- ② 苏联1946年及1955年规范、日本1959年及1970年 规 范、美 国 AISC 1961年及1969年规范、英国1959年规范以及我国1954年规范(规结— 4-54)等,其  $\frac{h_o}{\delta}$  的规规值均为一常数,公式来源一般未考虑腹板局部与杆件正体的等稳定原则,因而  $\frac{h_o}{\delta}$ 值与杆件的长细比入不发生关系,显然是不合理的。
- ③ 我国1964年及1974年规范、苏联1962年规范,其 $\frac{h_o}{\delta}$ 的规定,均按腹板局部与杆件正体的等稳定原则导得,因而比其他各国公式都较为合理。但是,据苏联1962年规范公式的来源,其前提和原则与我国1974年规范相同,因而存在的问题也类似,这是不足之处。
- ④ 本文公式(1)、(2)、(3)(见表7),基本上吸取了上述各式的优点,克服其缺点,当不计 $k_2$ 时,其数值与 $F_{\bullet}$  Bleich公式很接近。但 $F_{\bullet}$  Bleich公式在 $\lambda_1$ =108处的连接不平滑,且钢材的取值与我国尚有差异,推导公式所采用的柱子曲线也不相同。
- ⑤ 德、法、奥三国公式,在 $\lambda > 75$ 时,三式相同,据德国公式的来源系按弹性阶段导得。当 $\lambda > 110$ 时与本文第2式很接近,但当 $\lambda < 110$ 时,则出现显著的折线或台阶。



各国规范对轴心钢压杆腹板宽厚比 $\frac{h_o}{\delta}$ 的规定,均不同程度存在一些问题,多数公式未考虑等稳定原则,其 $\frac{h_o}{\delta}$ 值为一常数,不够合理,少数公式虽然考虑了等 稳 定 原则,但某些因素考虑不够严密或被忽略,因而所得结果不够准确。

本文公式,既考虑了腹板局部与构件正体的等稳定原则,采用了我国研究的柱子曲 线,又考虑了弹性模量修正系数  $\tau$  随  $\sigma_{\rm L}$  和  $\lambda$  的变化关系,同时分别按弹塑性及弹 性 两 阶段导出了公式,再考虑了不同材质等因素,因而与其他各式比较,考虑因素 较 为 全 面,其成果亦相应要合理些。

# 参 考 文 献

- (1) 《钢结构设计规范》TJ17-74(试行),1975年,北京。
- (2) 《铁结构设计规范》TJ 17-74 修订说明, 1974年, 北京。
- (3) 苏联《钢结构设计标准及技术规范》 $H_{N}$  Ty—1—46,高等教育出版 社。
- (4) 苏联《钢结构设计标准及技术规范》H<sub>N</sub>Ty121-55,建筑工程出版社。
- (5) 《钢结构设计规范试行草案》规结—4—54,中华人民共和国建筑工程部编,建筑工程出版社。
- (6) 《水利水电工程钢闸门设计规范》SDJ 13-78(试行)。水利电力出版社。

- (7) 金属结构的屈曲强度, F. 拍拉希, 科学出版社。
- (8) 美子受压闷构件翼绿和腹板宽厚比的规定,《钢结构设计规范》计算组, 1973年。
- (9) 中心受压钢杆,《钢结构设计规范》计算组,1972年。
- (10) Steel Structures Design and Behavior
  Charles G. Salmon, John E. Johnson.
- (11) 美国房屋钢结构设计制造和安装规范 AISC, 1961年。
- (12) 国外钢结构规范关于中心受压钢杆件的计算,《钢结构设计规范》计算组,1972年。

Discussion on the width-to-thickness Ratio Stipulations for the Web Plate of Steel Members Subject to Axical Compression

#### He Yunlin

#### AbStrack

This paper aims at compiling ( (Gate and Valve of Lock Design Specifications Vol. IV)) for the Ministry of Communication. Therefore, the analyses have been made of the questions formulas of the width-to-thickness ratio stipulations for the web plate of the steel members subject to axical compression in the current specifications (TJ<sub>17-74</sub>) in our country. And an exact new formula has been developed in accordance with the elastic-plastic behaviors and elastic behaviors respectively in this paper. Meanwhile, a contrast analysis has also been carried out of the wibth-to-thickness ratio stipulations for the web plate of steel members subject to axical compression in the specifications of many other countries in the world.